

## 材料の不均一性を考慮した液状化の有限要素解析

東北大工学部 学生員○草間 茂基  
 同上 正員 佐武 正雄  
 同上 学生員 土倉 泰

1. まえがき 日本海中部地震などにおいて見られたように、地盤の液状化は地盤構造の急変部において多く発生した。このように液状化には地盤構造の不均一性が発生要因の一つと考えられるが、著者らは地盤材料そのものの不均一性による液状化特性を調べるためにFEMによる2次元液状化解析を行った。液状化解析において問題となるのは土の構成式であるが、ここでは、繰返し載荷に対して比較的良好な結果を与えると考えられているGhaboussi・Momenの構成則<sup>1)</sup>を用いて準静的な非排水繰返し試験をシミュレートすることとした。ここでは、主に解析手法と予備的に行なった要素の繰返し試験の解析結果を中心述べる。

2. 解析手法 解析に用いたGhaboussi・Momenの構成則と具体的な解析手順について説明する。

### 2-1 Ghaboussi・Momenの構成則

Ghaboussi・Momenの構成則は等方硬化並びに移動硬化を考慮することのできる非関連流れ則となっている。この構成則にあける破壊曲面及び降伏曲面の概念図は6次元応力空間において図-1に示すようなものであり、破壊曲面は次式で与えられる。

$$F(\sigma_{ij}) = S_{ij}S_{kj} - \frac{2}{27}[M_1 R(\theta)]^2 = 0 \quad (1)$$

$$\text{ここに } S_{ij} = \sigma_{ij} - \frac{1}{3}\delta_{ij}I_1 \quad (2)$$

$$I_1 = \sigma_{kk} \quad (3)$$

$$R(\theta) = 2K/((1+K)-(1-K)\sin 3\theta) \quad (4)$$

また $\theta$ はRode角、 $M, K$ は定数である。次に降伏曲面は移動硬化により図-1のベクトル $\alpha$ を方向軸とする次のような関数により表される。 $f(\sigma_{ij}, \alpha_{ij}, \kappa) = \overline{S_{ij}}\overline{S_{kj}} - [R(\theta)\kappa I]^2 \quad (5)$

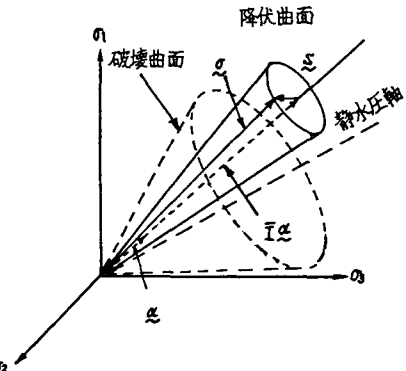


図-1 Ghaboussi・Momenのモデル

ここで $\overline{S_{ij}} = \sigma_{ij} - \bar{I}\alpha_{ij} \quad (6)$

$$\bar{I} = \alpha_{ij}\alpha_{ij} \quad (7)$$

また $\theta$ は歪ベクトル $\epsilon - \bar{I}$ に対するRode角、 $\bar{I}$ は等方硬化に対応するパラメータである。 $\kappa$ および $\alpha_{ij}$ は相当塑性歪 $(d\varepsilon_p = \sqrt{d\varepsilon_{ij}^p d\varepsilon_{ij}^p})$ を用いて定められる<sup>1)</sup>。流れ則を定めるための塑性ポテンシャル関数 $\psi$ は次式を満すように決定される。

$$\frac{\partial \psi}{\partial \sigma_{ij}} = \frac{\partial f}{\partial \sigma_{ij}} - \frac{1}{3} \left( \frac{\partial f}{\partial \sigma_{kk}} \right) \delta_{ij} \quad (8)$$

解析に必要な $d\sigma_{ij} \sim d\varepsilon_{ij}$ の関係を求めるには、 $d\varepsilon^p = d\varepsilon_{kk}^p$ を仮定およびダイレイタンシーオ式より、また更に、 $d\varepsilon_{ij}^p$ を有効平均応力の関係式より求めることとなる。

2-2 予備的解析の条件 側圧一定の三軸非排水繰返し試験をシミュレートすることとし、定数には従来のデータを参考に用いることにした。ここでは主に、ダイレイタンシーパラメーターに着目して、これによる液状化特性を調べることを目的として、ダイレイタンシーオ式を用いて定める。

$$d\varepsilon_{ij}^p = [\mu(\zeta) - \sqrt{\frac{2}{3}} \frac{q}{P}] d\zeta \quad (9)$$

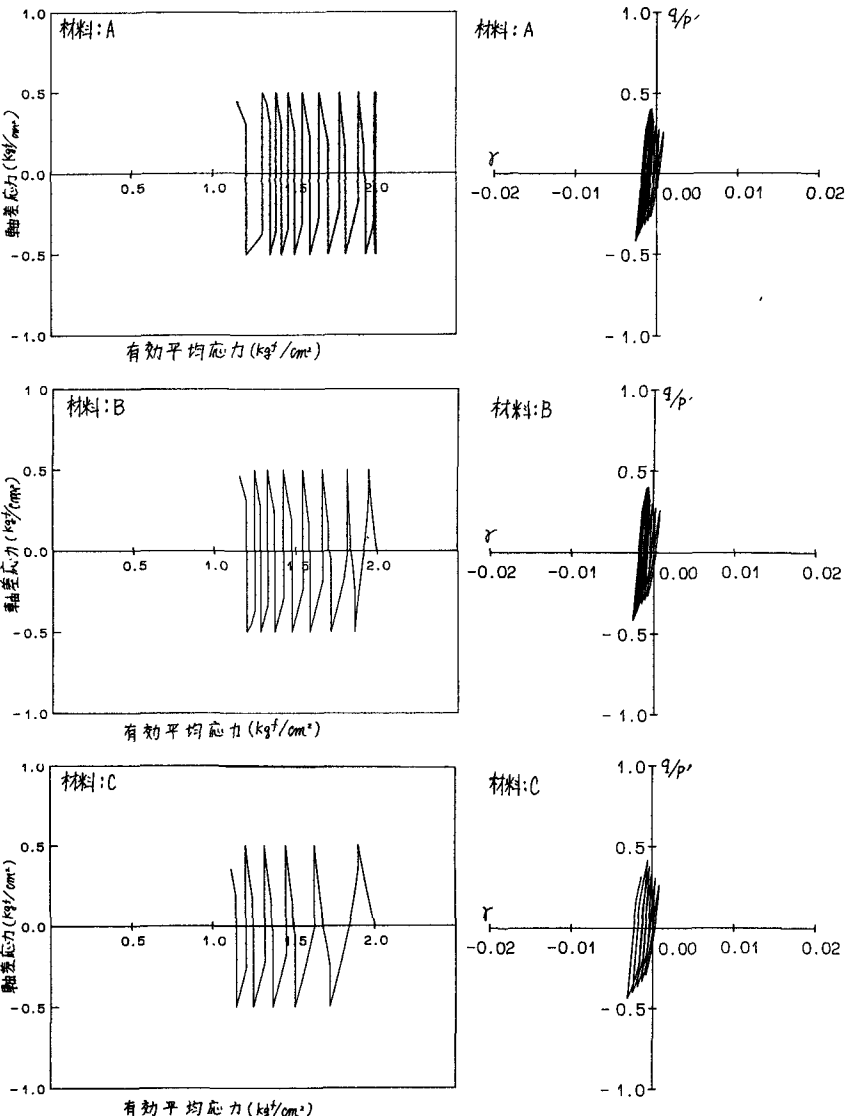
$$\mu(\zeta) = \mu_1 (\zeta < 0.002), \mu_2 (0.002 < \zeta < 0.007), \mu_3 (\zeta > 0.007) \quad (10)$$

他のパラメーターは一定とし、上式の $\mu_1, \mu_2, \mu_3$ を変化させて解析を進めることとした。表-1に解析に用いた主なパラメーターを示す。載荷は、側圧を一定値( $2.0 \text{ kgf/cm}^2$ )とし、軸圧を片振幅( $0.5 \text{ kgf/cm}^2$ )として応力制御の繰返し載荷を行った。

### 3. 解析結果

ダイレイタシーパラメーターは、結果より、塑性ひずみの小さい範囲ではわちひずみ硬化が小さい段階では、間隙圧変化を与える割合が高く、ひずみ硬化が進行するにつれて、このパラメーターは材料の安定度を示すパラメーター的か役割をはたすと考えられる。一般に  $\mu_1$  と  $\mu_2$  で  $\mu_1 - \mu_2$  が小さいものが安定した土の挙動を示すと考えられる。

材料モデル	パラメータ	間隙比	初期ヤング率	ボアン比	ダイレタンシーパラメーター		
	$e_0$	$E_0$	$\nu$	$\mu_1$	$\mu_2$	$\mu_3$	
A	0.75	2000	0.20	0.1	0.5	0.9	
B	0.75	2000	0.20	0.3	0.5	0.7	
C	0.75	2000	0.20	0.5	0.5	0.5	



### 4. あとがき

以上、Ghaboussi・Momen の構成則を中心として解析方法を示し、予測的な解析として、特にダイレイタシーパラメーターを変化させた結果について示した。これらは定数を組みせて不均一性モデルを設定した有限要素解析の結果については講演会当日発表の予定である。なお、間隙比による影響は少ないととも今回シミュレーションで示された。

### 参考文献

- 1) J. Ghaboussi, H. Momen : Modeling and Analysis of Cyclic Behaviour of Sands, Soil Mechanics - Transient and Cyclic Loads. John Wiley & Sons (1982) 313-342
- 2) 川本, 林: 地盤工学における有限要素法-培風館 1978

図-2 有効応力経路

図-3 剪断歪-応力比関